



KORRIGENDA

12.03.2023

Peter Marti

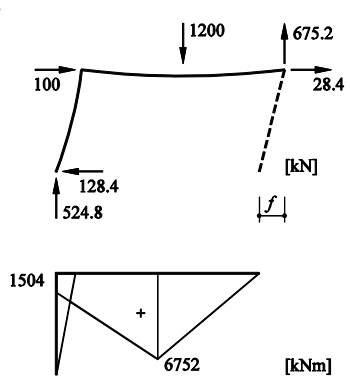
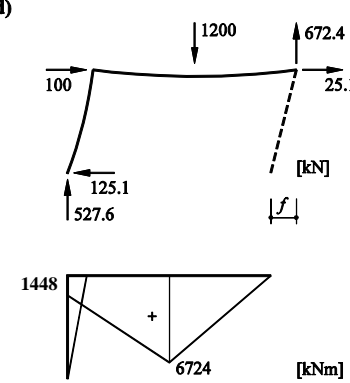
BAUSTATIK

GRUNDLAGEN, STABTRAGWERKE, FLÄCHENTRAGWERKE

1. Auflage 2012 Ernst & Sohn GmbH & Co. KG.

Seite	Ort	Abstand in cm vom unteren Seitenrand	Falsch	Richtig
57	Text Mitte	16.8	A6.5	A6.2
66	Text Mitte	10.5	$z = 4fx/l^2$	$z = 4fx^2/l^2$
72	(6.11)	4.5	$\begin{Bmatrix} \varepsilon_n \\ \varepsilon_t \\ \frac{1}{2}\gamma_m \end{Bmatrix} = \begin{bmatrix} \cos^2\varphi & \sin^2\varphi & \sin\varphi\cos\varphi \\ \sin^2\varphi & \cos^2\varphi & -\sin\varphi\cos\varphi \\ -\sin\varphi\cos\varphi & \sin\varphi\cos\varphi & \cos^2\varphi - \sin^2\varphi \end{bmatrix} \begin{Bmatrix} \varepsilon_x \\ \varepsilon_y \\ \frac{1}{2}\gamma_{xy} \end{Bmatrix}$	$\begin{Bmatrix} \varepsilon_n \\ \varepsilon_t \\ \frac{1}{2}\gamma_m \end{Bmatrix} = \begin{bmatrix} \cos^2\varphi & \sin^2\varphi & 2\sin\varphi\cos\varphi \\ \sin^2\varphi & \cos^2\varphi & -2\sin\varphi\cos\varphi \\ -\sin\varphi\cos\varphi & \sin\varphi\cos\varphi & \cos^2\varphi - \sin^2\varphi \end{bmatrix} \begin{Bmatrix} \varepsilon_x \\ \varepsilon_y \\ \frac{1}{2}\gamma_{xy} \end{Bmatrix}$
89	(7.32)	24.7	$D = c \cos g_{\max}$	$D = c \cos \varphi g_{\max}$
90	Text Mitte	14.3	γ_{\max}	γ_{\max}
111	Text unten	9.6	$m_z = V_y + d_x M_z$	$m_z = -V_y - d_x M_z$
116	(8.53)	23.9	$\sigma_{ij} = 2\mu\varepsilon_{ij} + \lambda\varepsilon_{ij}\varepsilon_{kk}$	$\sigma_{ij} = 2\mu\varepsilon_{ij} + \lambda\delta_{ij}\varepsilon_{kk}$
137	Text unten	3.7	Gleichgewichtssystem	Gleichungssystem
143	Text unten	2.7	Kapital	Kapitel
146	Text Mitte	12.8	Q_i	Q_j
149	Text Mitte	15.7	Reguläre Matrizen	Matrizen (Reguläre streichen)
169	Text oben	16.2	Ermüdungsfertigkeit	Ermüdungsfestigkeit
195	Text oben	23.7	Achse s	Achse s_0
195	Text Mitte	13.6	$\int \rho dA = \rho_C dA$	$\int \rho dA = \rho_C A$
195	Bild 13.11	5.7	bei O: Achse s	bei O: Achse s_0
197	Formel	9.8	$\int \frac{S^2}{b^2 I_y^2} dA = \int_{-h/2}^{h/2} \frac{b^2 (h^2/4 - z^2)^2}{b^2 (bh^3/12)^2} b dz = \frac{6}{5bh}$	$\int \frac{S^2}{b^2 I_y^2} dA = \int_{-h/2}^{h/2} \frac{b^2 (h^2/4 - z^2)^2}{4b^2 (bh^3/12)^2} b dz = \frac{6}{5bh}$
197	Text unten	4.0	$V_z = q(l-x)/2$	$V_z = q(l-2x)/2$
205	Bsp. 13.8	17.4	$(a-b)^2 > 0$	$(a^2 - b^2)^2 > 0$
206	Bsp. 13.9	20.9	τ_{yz}	τ_{yx}
207	Bsp. 13.10	6.8	$\frac{\partial u}{\partial x} = (1.186 \text{ m} - 2.4 \text{ m})\vartheta = -1.214 \text{ m} \cdot \vartheta$	$\frac{\partial u}{\partial z} = (1.186 \text{ m} - 2.4 \text{ m})\vartheta = -1.214 \text{ m} \cdot \vartheta$

212	(13.78)	17.3	$T_w = -\frac{Eb^3cd^2(3bc+2de)}{12(6bc+de)} \cdot \frac{d^3\varphi_x}{dx^3} = -EI_w \cdot \frac{d^3\varphi_x}{dx^3}$	$T_w = -\frac{Eb^3cd^2(3bc+2de)}{12(6bc+de)} \cdot \frac{d^3\varphi_x}{dx^3} = -EI_\omega \cdot \frac{d^3\varphi_x}{dx^3}$
213	Bild 13.34(c)	24.1	$\tau_{xs} \cdot t(s) ds$	$\tau_{xs} \cdot t(s) dx$
214	Formel	16.7	$\tau_{xs} \cdot t(s) ds + \int_0^s d\sigma_x t ds = 0$	$\tau_{xs} \cdot t(s) dx + \int_0^s d\sigma_x t ds = 0$
216	Bild 13.35(e)	16.8	$M_\omega[\text{MN/m}^2]$	$M_\omega[\text{MNm}^2]$
226	Tabelle links	12.8	$\frac{ml}{3}(M_l + M_r)$	$\frac{ml}{3}(M_l + M_r)$
229	Bild 14.5(a)	6.1	GERBERträger rechter Teil: Länge $l/2$	GERBERträger rechter Teil: Länge l
248	Bild 16.1	17.1	Bezeichnungen	Bezeichnungen
258	Formel	8.5	$\delta_{10} = \frac{ql_1^4}{384EI}$	$\delta_{10} = \frac{ql_1^4}{384EI_1}$
273	Bsp. 16.11	1.7	$\varphi_r = \frac{1}{k_{yr}} = \frac{l_3}{EI_3} + \frac{l_4^3}{48l_3^2 EI_4}$	$\varphi_r = \frac{1}{k_{yr}} = \frac{l_3}{3EI_3} + \frac{l_4^3}{48l_3^2 EI_4}$
284	(17.18)	11.4	$Q = \bar{v}_e^T \cdot \bar{k}_e \cdot \bar{v}_e \geq 0$	$Q = \bar{v}_e^T \cdot \bar{k}_e \cdot \bar{v}_e \geq 0$
291	Bsp. 17.3 Matrix Mitte	15.3	$\begin{bmatrix} 542.4 & -718.2 & -6\text{m} & -542.4 & 718.2 & -6\text{m} & 0 & 0 & 0 \\ -718.2 & 961.35 & -4.5\text{m} & 718.2 & -961.35 & -4.5\text{m} & 0 & 0 & 0 \\ -6\text{m} & -4.5\text{m} & 20\text{m}^2 & 6\text{m} & 4.5\text{m} & 10\text{m}^2 & 0 & 0 & 0 \\ -542.4 & 718.2 & 6\text{m} & 1542.4 & -718.2 & 6\text{m} & -1000 & 0 & 0 \\ 718.2 & -961.35 & 4.5\text{m} & -718.2 & 962.461 & 1.167\text{m} & 0 & -1.111 & -3.333\text{m} \\ -6\text{m} & -4.5\text{m} & 10\text{m}^2 & 6\text{m} & 1.167\text{m} & 33.333\text{m}^2 & 0 & 3.333\text{m} & 6.667\text{m}^2 \\ 0 & 0 & 0 & -1000 & 0 & 0 & 1000 & 0 & 0 \\ 0 & 0 & 0 & 0 & -1.111 & 3.333\text{m} & 0 & 1.111 & 3.333\text{m} \\ 0 & 0 & 0 & 0 & -3.333\text{m} & 6.667\text{m}^2 & 0 & 3.333\text{m} & 13.333\text{m}^2 \end{bmatrix}$	$\begin{bmatrix} 542.4 & -718.2 & -6\text{m} & -542.4 & 718.2 & -6\text{m} & 0 & 0 & 0 \\ -718.2 & 961.35 & -4.5\text{m} & 718.2 & -961.35 & -4.5\text{m} & 0 & 0 & 0 \\ -6\text{m} & -4.5\text{m} & 20\text{m}^2 & 6\text{m} & 4.5\text{m} & 10\text{m}^2 & 0 & 0 & 0 \\ -542.4 & 718.2 & 6\text{m} & 1542.4 & -718.2 & 6\text{m} & -1000 & 0 & 0 \\ 718.2 & -961.35 & 4.5\text{m} & -718.2 & 962.461 & 1.167\text{m} & 0 & -1.111 & -3.333\text{m} \\ -6\text{m} & -4.5\text{m} & 10\text{m}^2 & 6\text{m} & 1.167\text{m} & 33.333\text{m}^2 & 0 & 3.333\text{m} & 6.667\text{m}^2 \\ 0 & 0 & 0 & -1000 & 0 & 0 & 1000 & 0 & 0 \\ 0 & 0 & 0 & 0 & -1.111 & 3.333\text{m} & 0 & 1.111 & 3.333\text{m} \\ 0 & 0 & 0 & 0 & -3.333\text{m} & 6.667\text{m}^2 & 0 & 3.333\text{m} & 13.333\text{m}^2 \end{bmatrix}$
308	Bsp. 17.13	20.6	$M_{34}^0 = -7.5 \cdot 1.33^2/2 = -3.33 \text{ kNm}$	$M_{34}^0 = -7.5 \cdot 1.33^2/4 = -3.33 \text{ kNm}$
331	(18.47)	14.7	$e = \frac{(p_1 - p_2)l}{3(p_1 + p_2)}$	$e = \frac{(p_1 - p_2)l}{6(p_1 + p_2)}$
336	(18.61)	9.7	$w = \frac{ql^2}{GA_v} \left\{ \kappa \frac{x}{l} - \frac{x^3}{3l^3} + \frac{2 \cosh(\lambda x) + \kappa \lambda l \sinh[\lambda(l-x)] - 2 - \kappa \lambda l \sinh(\lambda l)}{(\lambda l)^2 \cosh(\lambda l)} \right\}$	$w = \frac{ql^2}{2GA_v} \left\{ \kappa \frac{x}{l} - \frac{x^3}{3l^3} + \frac{2 \cosh(\lambda x) + \kappa \lambda l \sinh[\lambda(l-x)] - 2 - \kappa \lambda l \sinh(\lambda l)}{(\lambda l)^2 \cosh(\lambda l)} \right\}$
339	(18.68) ₄	10.5	$M_b = q_0 l^2 \cdot \left\{ \frac{1}{2(\lambda l)^2} - \frac{\cosh[\lambda(l-x)]}{\lambda l \sinh(\lambda l)} \right\}$	$M_b = q_0 l^2 \cdot \left\{ \frac{1}{(\lambda l)^2} - \frac{\cosh[\lambda(l-x)]}{\lambda l \sinh(\lambda l)} \right\}$
339	Bsp. 18.12	7.8	57.6 m	33.8 m
339	Bsp. 18.12	6.6 - 7.4	Die Kopfeinspannung des Schubwand-systems ist relativ gering. Im unteren Wandteil weisen M_b und V_b etwas grössere Beträge auf als ohne Outrigger	Ersetzen durch: Im unteren Wandteil weist M_b einen etwas geringeren und V_b einen etwas grösseren Betrag auf als ohne Outrigger.
340	Bild 18.39	18.1	Verlauf von M_b und Wendepunkt bei 57.6 m falsch	M_b siehe Tabelle unten, Wendepunkt bei 33.8 m

340	Tab. 18.3	Spalte 4	<table border="1"> <thead> <tr><th>M_b</th></tr> </thead> <tbody> <tr><td>16.0</td></tr> <tr><td>14.6</td></tr> <tr><td>10.3</td></tr> <tr><td>2.5</td></tr> <tr><td>-9.6</td></tr> <tr><td>-27.2</td></tr> <tr><td>-52.3</td></tr> <tr><td>-87.7</td></tr> <tr><td>-137.1</td></tr> <tr><td>-206.1</td></tr> <tr><td>MNm</td></tr> </tbody> </table>	M_b	16.0	14.6	10.3	2.5	-9.6	-27.2	-52.3	-87.7	-137.1	-206.1	MNm	<table border="1"> <thead> <tr><th>M_b</th></tr> </thead> <tbody> <tr><td>57.6</td></tr> <tr><td>56.3</td></tr> <tr><td>51.9</td></tr> <tr><td>44.1</td></tr> <tr><td>32.1</td></tr> <tr><td>14.5</td></tr> <tr><td>-10.7</td></tr> <tr><td>-46.0</td></tr> <tr><td>-95.5</td></tr> <tr><td>-164.5</td></tr> <tr><td>MNm</td></tr> </tbody> </table>	M_b	57.6	56.3	51.9	44.1	32.1	14.5	-10.7	-46.0	-95.5	-164.5	MNm
M_b																												
16.0																												
14.6																												
10.3																												
2.5																												
-9.6																												
-27.2																												
-52.3																												
-87.7																												
-137.1																												
-206.1																												
MNm																												
M_b																												
57.6																												
56.3																												
51.9																												
44.1																												
32.1																												
14.5																												
-10.7																												
-46.0																												
-95.5																												
-164.5																												
MNm																												
349	Bsp. 18.15	9.8	$i = EI/EA = 0.75 \text{ m}^2$	$i^2 = EI/EA = 0.75 \text{ m}^2$																								
364	Bsp. 18.24	13.3 12.6 12.6	$l = 100 \text{ m}$ $R = 8.14 \text{ m}$ $w(0) = 996.7 \text{ mm}$	$l = 120 \text{ m}$ $R = 9.77 \text{ m}$ $w(0) = 997 \text{ mm}$																								
369	Formel	24.4	$c_1 = \frac{\frac{Ql}{4} - g \frac{\Delta H}{H} \left(\frac{l^2}{8} - \frac{1}{\lambda^2} \right)}{2(H + \Delta H)}$	$c_1 = \frac{\frac{Ql}{4} - g \frac{\Delta H}{H} \left(\frac{l^2}{8} - \frac{1}{\lambda^2} \right)}{H + \Delta H}$																								
369	Bsp. 18.29	19.0	$\lambda = 0.1668 \text{ m}^{-1}$	$\lambda = 0.1896 \text{ m}^{-1}$																								
403	(20.32)	19.4	$w_m = w_y \left(\frac{Q_y}{Q} \right)^2 \left[5 - \left(3 + \frac{Q}{Q_y} \right) \left(3 - \frac{Q}{Q_y} \right)^{1/2} \right]$	$w_m = w_y \left(\frac{Q_y}{Q} \right)^2 \left[5 - \left(3 + \frac{Q}{Q_y} \right) \left(3 - \frac{2Q}{Q_y} \right)^{1/2} \right]$																								
405	Bildlegende	2.2	(Abmessungen in m)	(Abmessungen in m) streichen																								
428	(21.25) ₂	14.3	$M_z = \frac{b^3 f_y \tan^2 \alpha}{6}$	$M_z = \frac{b^3 f_y \tan \alpha}{6}$																								
428	(21.26) ₁	10.5	$\left(M_z/M_y \leq h/b \right)$	$\left(M_z/M_y \leq b/h \right)$																								
428	(21.26) ₂	8.9	$\left(M_z/M_y \geq h/b \right)$	$\left(M_z/M_y \geq b/h \right)$																								
431	Text	21.1	Achsen N_u, M_{yu}, M_{zu}	Achsen N, M_y, M_z																								
438	Bsp. 21.2	25.3	Bild 21.25	Bild 21.25(a)																								
461	Bsp. 22.9	12.6 ff	$f_1 = \dots = 325 \text{ mm}$ und folgende Berechnungen	$f_1 = \dots = 289 \text{ mm}$ Die folgenden Berechnungen sind anzupassen.																								
462	Bsp. 22.9 Bild 22.9(d)	16.0 - 21.7	<p>(d)</p> 	<p>(d)</p> 																								
468	Text unten	3.7	$\sin(i\lambda) = \sinh\lambda$	$\sin(i\lambda) = i \sinh\lambda$																								

475	Bild 22.25(b)	4.3	Vorzeichen vertauscht	Vorzeichen ändern
485	Formel Mitte	18	Formelnummer fehlt	Formelnummer: (22.70)
491	Formel Mitte	15.3	Formelnummer: (22.21)	Formelnummer streichen
511	Bild 23.24	4.8 – 6.6	Gerade BH und Feldnummer 5 (ABH) fehlen	Gerade BH und Feldnummer 5 (ABH) ergänzen
515	Text unten	2.3	(21.12)	(21.2)
542	Formel	11.1	$\int_0^b q \sin\left(\frac{n\pi y}{b}\right) \sin\left(\frac{n'\pi y}{b}\right) dy$	$\int_0^b \sin\left(\frac{n\pi y}{b}\right) \sin\left(\frac{n'\pi y}{b}\right) dy$
562	Formel	18.5	$m_\varphi \equiv \frac{qr^2}{2}$	$m_\varphi = \frac{qr^2}{2}$
563	Bsp. 24.14	3.2	$2.589m_u$	$2.598m_u$
568	Text Mitte	15.8	berücksichtigt	berücksichtigt
573	Bsp. 24.21	22.9	$\frac{\pi}{3}\gamma^3 + 2\pi\alpha\gamma^2 + 4\alpha^2\gamma - \alpha(\beta - \alpha^2) = 0$	$\frac{\pi^2}{3}\gamma^3 + 2\pi\alpha\gamma^2 + 4\alpha^2\gamma - \alpha(\beta - \alpha^2) = 0$
577	Text Mitte	17.3	bewehrter	bewehrten
590	Text oben	21.5	Fachwerken	Faltwerken
595	Bsp. 25.2	20.6	σ_1	σ_0
599	Bildlegende	18.0	Hauptkrümmungsradien	Hauptkrümmungsradien
600	Text unten	7.9	Hauptkrümmungsradien	Hauptkrümmungsradien
602	Bsp. 26.3	12.0	Kugelschale	Kegelschale
628	Formel	9.1	Formelnummer: (26.82)	Formelnummer streichen
632	Text oben	23.5	Differentialgleichungen	Differentialgleichungen
641	Auflistung	4.8	Vektor	Vektor
645	Text Mitte	13.6	spannungsabhängig	lastabhängig
645	Text unten	6.7	Ableitung nach x	Ableitung nach x , r oder s
649	Formel	23.3 (17.9 v. r.)	$I_x = \frac{hb^3}{3} \left[1 - \frac{192b}{\pi^5 h} \tanh\left(1 - \frac{\pi h}{2b}\right) \right] \quad (h \geq b)$	$I_x = \frac{hb^3}{3} \left[1 - \frac{192b}{\pi^5 h} \tanh\left(\frac{\pi h}{2b}\right) \right] \quad (h \geq b)$
661	Text oben	25.6	Kapitel A5.2	Anhang A5.2
681	Text	21.1	SIMPSONregel 227	SIMPSONregel 225